

## 中低温動作マイクロ SOFC のための Gd 添加 CeO<sub>2</sub>の堆積と微細加工

高 橋 智 一\*

Deposition and Microfabrication of Gd-doped CeO<sub>2</sub> for Micro SOFC  
Operating at Low Temperature

Tomokazu TAKAHASHI

### 概 要

携帯機器に搭載できる SOFC の構造として極薄の Gd 添加 CeO<sub>2</sub> (GDC) 膜を自己支持にし、そこに局所加熱のためにマイクロヒータを配した構造を提案した。これを実現するために GDC 膜の残留応力を成膜中の酸素分圧によって制御する方法を試み、-160 MPa の低応力膜を得た。GDC 膜のエッチング耐性を調査し、その結果に基づいて作製プロセスを設計し、提案したマイクロ SOFC の基本構造を作製した。作製した GDC 自己支持膜のイオン導電率は報告されているバルク GDC の値より低いが400°C 以下の低温ではバルク YSZ よりも高い値を示しており、GDC 自己支持膜を用いてマイクロ SOFC の低温化が期待できる。

### 1. はじめに

ノートパソコン、デジタルビデオカメラなどの携帯機器は、今後も高機能化・多機能化し、それにともなって消費電力は増加すると考えられる。一方、リチウムイオン電池のエネルギー密度は理論限界に近づいており、代替電源として燃料電池が注目を集めている。これまで、直接メタノール型燃料電池 (DMFC)<sup>(1)</sup>、燃料改質器付固体高分子形燃料電池 (PEFC)<sup>(2)</sup>、水素貯蔵材料を用いる PEFC<sup>(3)(4)</sup>、固体酸化物型燃料電池 (SOFC)<sup>(5)</sup>などが携帯機器への応用を目指して研究されてきた。しかし、DMFC・PEFC は、小形のものでは出力密度が数 mW/cm<sup>2</sup> から数十 mW/cm<sup>2</sup> 程度と低い

ため、必要な出力を得るのに大きな面積を必要とする。そのため、利用空間の限られた携帯機器では燃料搭載量が減ってしまう。結局、実質的なエネルギー密度が低く、つまり作動時間が短くなり、DMFC・PEFC は二次電池に対して優位性を発揮できていない。また、セルが大きくなることで、高価になるという問題もある。一方、SOFC は DMFC・PEFC より出力密度が1 衍以上高いため、セルを大幅に小さくできる可能性がある。これによって、マイクロ燃料電池が抱える上述の問題が解決できると期待される。これまで、SOFC は作動温度が800~1000°C と高いため、携帯機器に搭載するのは困難とされてきた。

そこで、本研究では、次の 2 つの方策によって携帯機器への搭載を可能にすることを目指す。第 1 に、低温動作を可能にするため、固体酸化物電解質膜を極端に薄くする<sup>(5)</sup>。本研究では、さらなる低温作動のため、中低温でも高出力が期待できる Gd 添加 CeO<sub>2</sub> (GDC) を用いる(図 1)。第 2 に、局所加熱構造を用いることで、反応部のみを高温にする。自己支持された GDC 膜は断熱性に優れ、しかも低熱容量であるので、そこにマイクロヒータを形成することによって、局所加熱だけではなく、高速起動や熱的自立も可能になるとと考えられる。本トピックスでは、このようなマイクロ SOFC を実現するために必須の GDC 膜の堆積・微細加工に関して、主に述べる。

### 2. 構造と作製プロセス

本研究で提案するマイクロ SOFC は図 2 に示す構造を有する。マイクロヒータが自己支持された SiO<sub>2</sub> 膜に埋め込まれ、局所加熱構造を形成している。局所加熱構造上に GDC のコルゲートダイアフラムが形成

原稿受付 平成22年9月15日

\*システム理工学部 機械工学科 助教

されている。GDC は400~600°Cの低温でも高い酸素空孔伝導度を有する固体酸化物電解質である。コルゲートダイアフラムは Si 基板と GDC 膜との熱膨張差を吸収する構造である。触媒電極として多孔質 Pt を GDC 膜の上下面に形成し、それぞれ空気極、燃料極とする。

作製プロセスを図 2 に示す。まず、コルゲートダイアフラムを形成するために、HF と HNO<sub>3</sub>の混合液を用いて Si を等方的にエッチングする。その後、絶縁膜として SiO<sub>2</sub>を TEOS (tetraethyl orthosilicate, Si(OC<sub>2</sub>H<sub>5</sub>)<sub>4</sub>) プラズマ CVD で 1 μm 厚に成膜する。その上にマイクロヒータ (Ta/Pt/Ta) とその配線 (Ta/Pt/Au/Pt/Ta) とをリフトオフで形成し、それらを絶縁保護するために SiO<sub>2</sub>を TEOS プラズマ CVD で 1 μm 厚に成膜する。続いて、コルゲートダイアフラム部分の SiO<sub>2</sub>を BHF でエッチングする。同時に、Si エッチング用マスクの形成のために下面の SiO<sub>2</sub>をエッチングする。その後、PLD (pulse laser deposition) で厚さ300nm と非常に薄い GDC を成膜する。GDC は TMAH にほとんど溶けないことから（後述）、上面をエッティング保護剤（ProTEK B 3、Brewer Science 社）で保護した後、Si 基板を TMAH でエッティングする。最後に、両面に多孔質 Pt を成膜する。

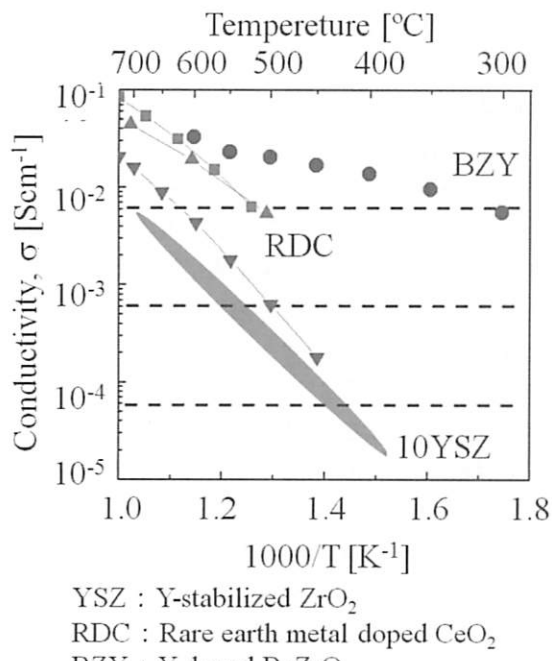


図 1 固体酸化物電解質のイオン導電率

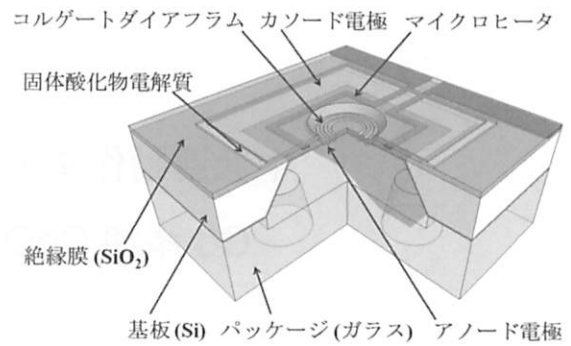


図 2 SOFC マイクロ SOFC の概略図

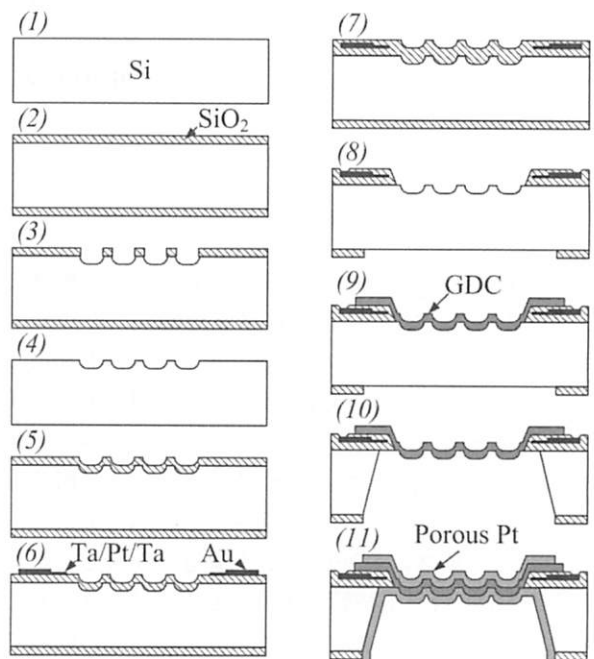


図 3 マイクロ SOFC の作製プロセス

### 3. GDC 膜の応力制御

厚さ300nm と非常に薄い GDC 自己支持膜を形成するためには、GDC 膜の応力制御が重要である。GDC 膜に生じる残留応力の原因は 2 つある。1 つ目は Si 基板と GDC 膜との熱膨張差によって生じる熱応力である。Si の熱膨張係数が約 3 ppm/K、GDC のそれが約 10 ppm/K であるので、成膜後の冷却過程で熱応力として引張応力が生じる<sup>7)</sup>。700°Cで成膜した場合、この熱応力は 1.2 GPa と算出される。

2 つ目は GDC 膜の酸素欠陥濃度に依存して生じる化学的応力である<sup>7)</sup>。成膜中の酸素分圧が低いと、膜中の酸素欠陥濃度が高くなり、イオン同士が反発し格子間隔が広がるため、圧縮応力が生じる。本研究では、成膜温度を 700°C にして酸素分圧を変えて成膜し、膜応力の変化を調べた。膜応力はいずれの条件でも圧縮で、化学的応力の影響が大きいことがわかる。図 3 に

示すように、酸素分圧を100mTorrまで高くすると、GDC膜の圧縮応力が-160MPaまで減る。また、この条件で堆積したGDCを用いて、図4に示すような $600\mu\text{m} \times 600\mu\text{m}$ のGDC自己支持膜を作製し、膜応力がダイヤフラムを形成するのに十分小さいことを確認した。

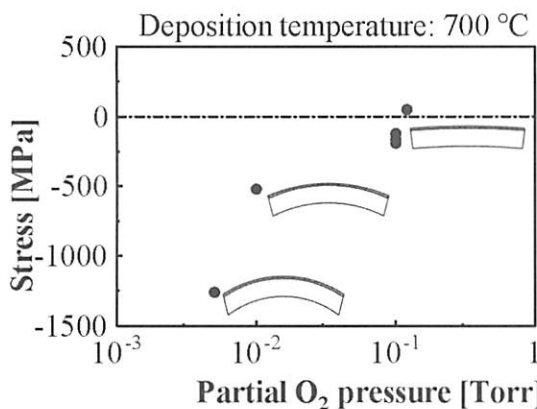


図4 堆積中の酸素分圧に対するGDC膜応力

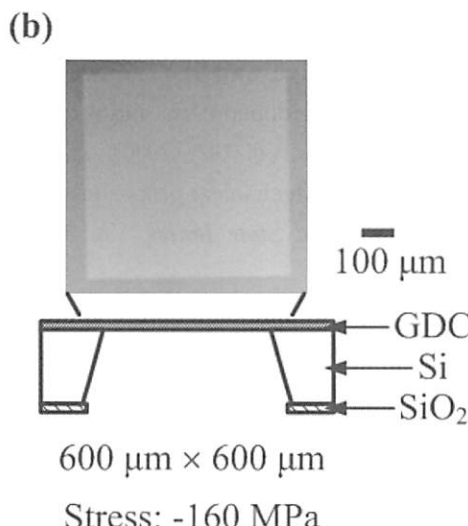
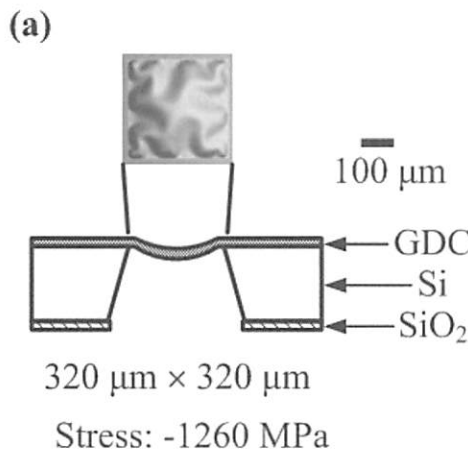


図5 (a)座屈したGDC膜、(b)応力制御したGDC膜

#### 4. GDC膜のエッティング耐性とマイクロSOFCの作製

マイクロSOFCの構造・作製プロセスを設計するために、GDC膜のエッティング耐性を調べた。GDC膜は硫酸、および硝酸に容易に溶けるので、これらを用いた洗浄等は行えない。一方、SiO<sub>2</sub>エッティングに使用するBHF (HF : NH<sub>4</sub>F = 50 : 1, 36°C)に対しても、エッチレート 1 nm/min 以下とGDC膜はある程度の耐性を有する。Siエッティングに使用するTMAH(25%, 80°C)に対しては、エッチレート 0.1 nm/min 以下とGDC膜はほとんど溶けない。したがって、TMAHによるSiエッティングでのエッチストップ層としてGDCを利用できる。しかし、ウェットエッティングによって薄い自己支持膜をリリースすると、エッチャントの流体力や乾燥時の表面張力によって、自己支持膜が破損することがあり、歩留まりが低い。したがって、今回、Siを数十μmだけ残してXeF<sub>2</sub>ガスエッティングを行い、図5に示すマイクロSOFCを作製した。GDC膜はXeF<sub>2</sub>に対しても耐性を示す。表1にGDC膜のエッティング特性をまとめた。

表1 GDC膜のエッティング耐性

H <sub>2</sub> SO <sub>4</sub>	可溶
HNO <sub>3</sub>	可溶
TMAH(25%, 80°C)	~0.1 nm/min
BHF(NH <sub>4</sub> F+HF, 36°C)	~1 nm/min
XeF <sub>2</sub>	不溶

#### 5. GDC膜の性能評価

作製したGDC自己支持膜のイオン導電率、および面積抵抗率を評価した。図6に示すように、GDC自己支持膜を有する基板をヒータ上に設置して、300~500°Cの間で温度を変えながら、インピーダンスアナライザ(1255B、Solatron)を用いてGDC自己支持膜のイオン導電率を測定した。測定チャンバには、常圧でArを80sccm、O<sub>2</sub>を20sccm流した。図6にGDC自己支持膜のイオン導電率と温度の関係を示す。図7にはバルクGDCのイオン導電率の報告値も示されているが、これらに対して今回の測定値は低い値となっている。しかし、400°C以下の低温ではバルクYSZよりも高い導電率が得られており、GDC自己支持膜を用いてマイクロSOFCの低温化が期待できる。また、高出力SOFC実現のための面積抵抗率の典型的な目標値である $0.15\Omega\text{cm}^2$ <sup>[8]</sup>を500°Cで達成できた。

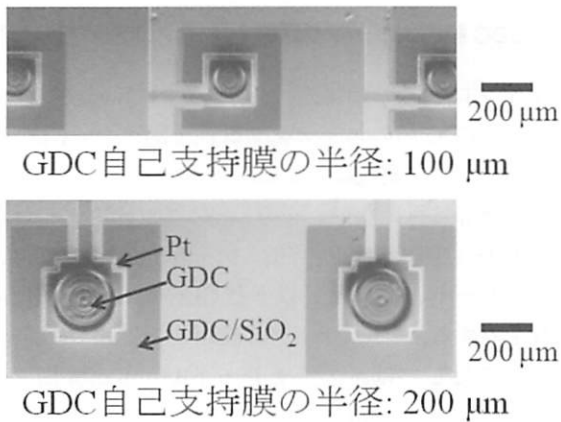


図6 作製したマイクロ SOFC

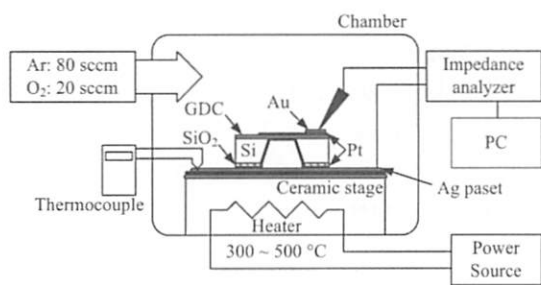


図7 イオン導電率測定システムの概略図

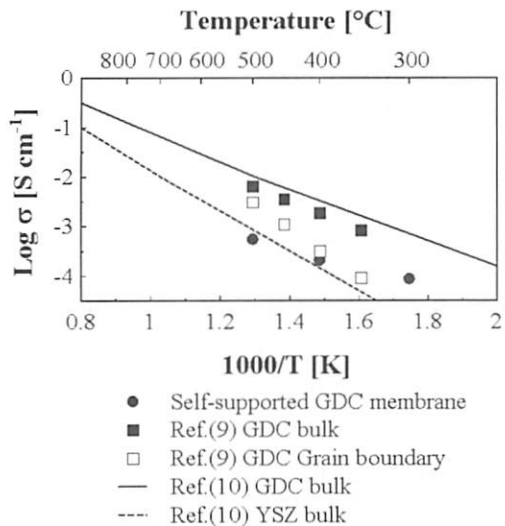


図8 温度に対するGDC自立膜のイオン導電率 $\sigma$

## 6. おわりに

携帯機器に搭載できるSOFCの構造として、極薄のGd添加CeO<sub>2</sub>(GDC)膜を自己支持にし、そこに局所加熱のためにマイクロヒータを配した構造を提案した。本研究では、これを実現するために、GDC膜の残留応力を成膜中の酸素分圧によって制御する方法を試み、-160MPaの低応力膜を得た。また、GDC膜のエッティング耐性を調査し、その結果に基づいて作製

プロセスを設計し、提案したマイクロSOFCの基本構造を作製した。作製したGDC自己支持膜のイオン導電率は、報告されているバルクGDCの値よりも低いが、400°C以下の低温ではバルクYSZよりも高い値を示しており、GDC自己支持膜を用いてマイクロSOFCの低温化が期待できる。また、高出力SOFC実現のための典型的な面積抵抗率の目標値である0.15  $\Omega \text{cm}^2$ を500°Cで達成できた。

## 参考文献

- (1) E. Sakaue, Micromachining / Nanotechnology in Direct Methanol Fuel cell, *Proceedings of the 18th IEEE International Conference on Micro Electro Mechanical Systems*, (2005-1), pp. 600-605
- (2) S. Tanaka, K. S. Chang, K. B. Min, D. Satoh, K. Yoshida, and M. Esashi, MEMS-based Components of a Miniature Fuel Cell / Fuel Reformer System, *Chemical Engineering Journal*, Vol. 101 (2004) pp. 143-149
- (3) R. Ströbel, J. Garche, P. T. Moseley, L. Jörissen, and G. Wolf, Hydrogen Storage by Carbon Materials, *Journal of Power Sources* Vol. 159 (2006) pp. 781-801
- (4) Z. P. Li, B. H. Liu and S. Suda, A Fuel Cell Development for Using Borohydrides as the Fuel, *Journal of Electrochemical Society*, Vol. 150 (2003) pp. A868-A872
- (5) P. C. Su, C. C. Chao, J. H. Shim, R. Fasching and F. B. Prinz, *Nano Letters*, Solid Oxide Fuel Cell with Corrugated Thin Film Electrolyte, Vol. 8 (2008) pp. 2289-2292
- (6) H. Hayashi, M. Kanoh, C. J. Quan, H. Inaba, S. Wang, M. Dokuya and H. Tagawa, Thermal Expansion of Gd-doped ceria and reduced ceria, *Solid State Ionics*, Vol. 132 (2000) pp. 227-233
- (7) I. Lubomirsky, Mechanical properties and defect chemistry, *Solid State Ionics*, Vol. 177 (2006) pp. 1639-1642
- (8) B. C. H. Steele and A. Heinzel, Materials for Fuel-cell Technologies, *Nature*, Vol. 414 (2001) pp. 345-352